



Growth and the investigation of TGSP crystal properties as infrared detector

R. Malekfar, B. Abbasi

Physics Department, Faculty of Basic Sciences, Tarbiat Modares University, Tehran, Iran
Email: Malekfar@Modares.ac.ir

(Received: 17/11/2007, in revised form: 10/6/2008)

Abstract: Triglycine sulfate, TGS, and its phosphated counterpart, TGSP, have been grown by saturation solution method and were investigated for growth conditions and crystallographic parameters. Structural analysis equipments such as X-ray diffraction and back-scattering laser micro-Raman spectroscopy have been employed for the investigation of the grown crystals and the experimental results obtained for the pure TGS and doped TGSP crystals are presented. We place great emphasis on the influences of the orientation of the seed crystal and also phosphoric acid addition to the quality of the final grown crystals and the changes in the polarization has been studied by using a special electrical circuit and recording the hysteresis loops of the pure and doped crystals.

Keywords: *crystal growth, pyroelectric, triglycine sulfate, phosphoric acid, coercive field, hysteresis loop.*



رشد و بررسی خواص بلور TGSP به عنوان آشکار ساز فروسرخ

رسول ملک فر^۱، بهنام عباسی^{۲*}

۱- بخش فیزیک دانشکده علوم پایه دانشگاه تربیت مدرس- تهران

۲- مرکز تحقیقات پیشرفته لیزر، صا شیراز، شیراز

*پست الکترونیکی: Malekfar@Modares.ac.ir

(دریافت مقاله: ۸۶/۸/۲۷ ، نسخه نهایی: ۸۷/۳/۲۱)

چکیده: بلور سولفات تری گلایسین، TGS، و نیز همتای فسفات دارشده آن، TGSP، با روش رشد از محلول اشباع، رشد داده شدند و از لحاظ چگونگی شرایط رشد و پارامترهای مختلف بلورشناسی مورد بررسی قرار گرفتند. ابزار تجزیه و تحلیلی ساختاری نظیر پراش پرتو X و طیف سنجی پس پراکندگی لیزری میکرو رامان برای بررسی بلورهای رشد داده شده مورد استفاده قرار گرفته شد، و نتایج تجربی به دست آمده از آنها در مورد بلورهای خالص TGS و آلاییده TGSP ارائه شده‌اند. توجه ویژه به تاثیر دانه اولیه، و اثر افزایش اسید فسفریک در کیفیت بلورهای نهایی رشد داده شده، بوده است، و تغییر قطبیش ایجاد شده با به کارگیری مدار الکتریکی ویژه و ثبت منحنیهای پسماند بلورهای خالص و آلاییده بررسی شده‌اند.

واژه‌های کلیدی: رشد بلور، پیروالکتریک، سولفات تری گلایسین، اسید فسفریک، میدان واحد، حلقه پسماند.

ساختار بلوری با سرنشت دیالکتریک را می‌توان به جای یکی از ۳۲ گروه تقارنی قرار داد، که ۱۱ گروه از آنها دارای مرکز تقارن بوده و خاصیت فروالکتریکی دارند و ۲۱ گروه با قیمانده مرکز تقارن ندارند. در این میان ۲۰ گروه از این ۲۱ گروه سرنشت پیزو الکتریکی از خود نشان می‌دهند. شاخه دیگری از تقسیم بندی نیز وجود دارد که در آن بلورها می‌توانند دارای یک تک محور قطبیده باشند که به چنین گروهی پیرو الکتریک گفته می‌شود. ولی اگر این مواد ویژگی برگشت پذیری قطبیشی نیز داشته باشند، فرو الکتریک خوانده می‌شوند. TGSP یک پیروالکتریک خوب است. بلورهای TGS و TGSP ثابت دی الکتریک پایینی دارند و در حالت کلی با افزایش دما، رسانندگی آنها بالا می‌رود. این موضوع به لحاظ افزایش نمایی غلظت با دماست، و نیز افزودن ناخالصی نیز رسانایی آن را در دمای معین تغییر می‌دهد.

مقدمه

بلور سولفات تری گلایسین، TGS، کاربردهای ویژه‌ای در وسائل مختلف به ویژه نظامی و پژوهشی دارد که از آن جمله می‌توان به تلسکوپهای فضایی، طیف سنجها و ابزار سرنشت‌یابی لیزری، تصویرگرهای تحلیل کننده محیط و آشکارسازهای IR اشاره کرد. خانواده TGS بهترین ماده در میان مواد موجود برای احساسگرهای پیروالکتریکی‌اند که ناشی از ضربیت پیروالکتریک بالای آنهاست. احساسگرهای پیرو الکتریک خانواده TGS احساسگرهای خوبی برای بازه طول موج فرابنفش تا فروسرخ هستند. دلیل اصلی برای بررسی خانواده TGS، در سالهای اخیر، عبارتند از بهای ارزان، گستردگی بودن بازه پاسخ دهی دمایی، و بسامدی آنهاست. TGSP یکی از اعضای خانواده TGS است که با افزودن مقدار معین و کم اسید فسفریک به آبگون TGS به دست می‌آید. در شکل (۱) ساختار TGSP از نظر بلورشناسی نمایش داده شده است. هر



شکل ۱ دسته بندی فروالکتریک‌ها از نظر بلور‌شناسی.

گلایسینیم $\text{NH}_3^+ \text{CH}_2\text{COOH}$ و یکی به صورت دیگر زوئیتر $\text{NH}_3^+ \text{CH}_2\text{COO}^-$ (یونی) که هم خاصیت اسیدی دارد هم خاصیت بازی است. وقتی اسید فسفوریک به عنوان ناچالصی وارد می‌شود، هیدروژن اسید فسفوریک با COO^- ترکیب شده و زوئیتر را تبدیل به گلایسینیم می‌کند. در نتیجه فقط در صورتی می‌توان زوئیتر را مشاهده کرد که ناچالصی اسید فسفوریک تا حد امکان کم باشد. برای کنترل دما در آزمایشگاه دستگاهی با دو لایه ساخته شد که با یک کنترل کننده دما و عنصرهای گرمایی که در پایین و بین دو لایه قرار گرفته بودند، دما قابل کنترل بود. این دستگاه و مدار آن را در **شکل‌های (۲) و (۳)** نشان داده‌ایم. نخست در دمای زیر ۲۰ درجه سانتگراد بررسیهایی انجام شد ولی بلوری مشاهده نشد. در دمای ۲۰ درجه سانتگراد اولین بلورها مشاهده شدند که ضمن پایین بودن سرعت رشد، کیفیت بلورها نیز مناسب نبود. بررسیهای در دمای بالاتر تکرار شد و در دمای ۳۰ - ۳۵ درجه سانتگراد بهترین بلورها به دست آمدند. ولی در دمای بالاتر به دلیل سرعت تبخیر بالا پدیده‌های هسته‌زایی، لایه لایه شدن صفحات، و شکل گیری نامناسب صفحات بلوری مشاهده شدند. زمانی که آبگون به حالت ابر اشباع می‌رسد رقابتی بین دانه سازهای اولیه در آبگون آغاز می‌شود، سرانجام یکی برنده خواهد شد و دانه اولیه را به وجود می‌آورد پس از آنکه دانه اولیه به نخ بسته و آویزان شد و بلور تا حدی رشد می‌کند دوباره رقابت برای دانه‌سازی آغاز می‌شود و روی بلور دانه‌های بسیار کوچکی تشکیل می‌شوند. عکس این اثر، با مقیاس ۵۰۰ برابر در **شکل ۴** ارائه شده است. دانه‌های اولیه که در شکل

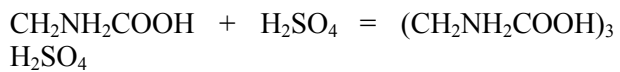
باز قطبی مشکل اصلی این بلور است. بهترین راه بر طرف کردن این مشکل افزودن ناچالصی است. این باز-قطبی مربوط به تبادل پروتون بین گلایسین و یون گلایسینیم است. در همین راستا پژوهشگران به دنبال ماده‌ای هستند که جانشین گلایسین شده و با وارد کردن میدان داخلی از باز قطبی بلور جلوگیری کنند، [۱، ۲].

دما کوری بلور TGSP، ۵۱ درجه سانتگراد است. در حالت کلی TGSP نسبت به TGS میدان و ادارندگی بزرگتری از خود نشان می‌دهد که این به دلیل جایگزینی یونهای PO_4^{3-} با یونهای SO_4^{2-} است.

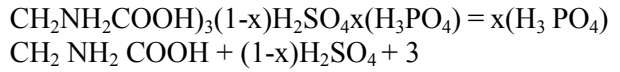
روش رشد

رشد بلورهای خانواده TGS با آلایش‌های مختلف به روشهای گوناگونی صورت می‌گیرد. از آن جمله می‌توان به رشد روی صفحه داغ، سردایش آرام و تبخیر آزاد همراه با ثابت نگه داشتن دما اشاره کرد. در اینجا با استفاده از ثابت نگه داشتن دما این کار پژوهشی انجام شده است. که پاسخ مناسبی داده، و بلور به شکل مناسبی رشد می‌کند. بلورهای TGS و TGSP از آبگون اشباع با ترکیب‌های شیمیایی زیر به دست می‌آیند.

برای TGS داریم:



و برای TGSP داریم:

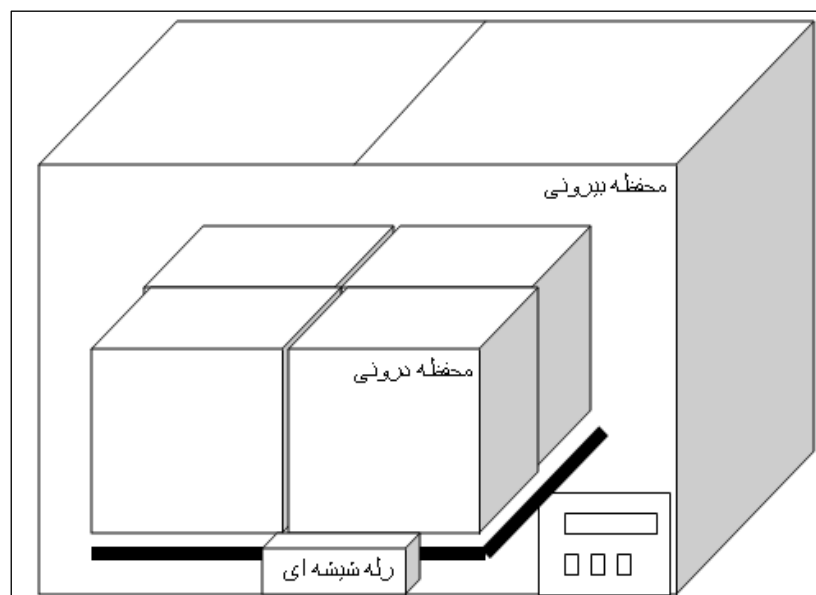


که x در اینجا می‌تواند دارای مقادیر $0, ۱, ۰, ۲, ۰, ۲۵, ۰, ۴, ۰, ۵$ باشد. در TGS از هر ۳ یون گلایسین ۲ مورد آن به صورت

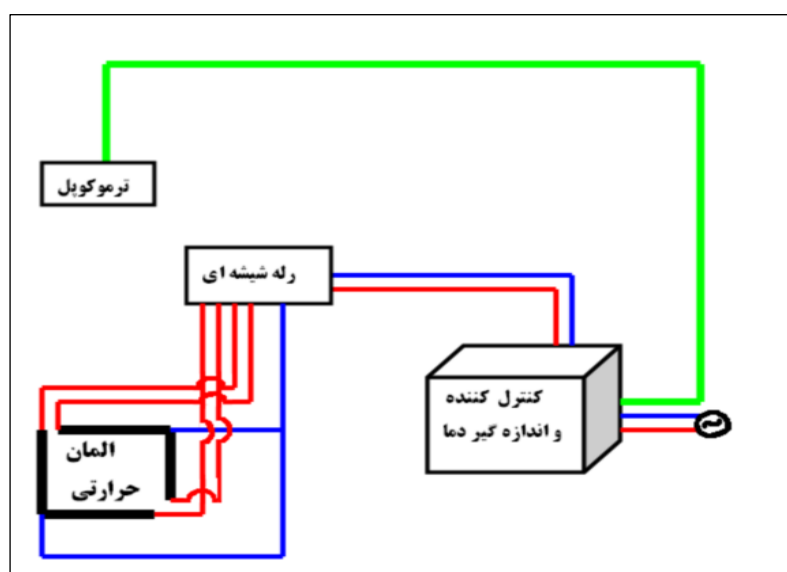
محفظه را برداشتیم و برای جلوگیری از تبادل گرمایی دور آن را کاملاً با پشم شیشه که یک عایق گرمایی مناسبی است پوشاندیم، [۳].

در شرایطی که از ماده اولیه بیشتر و نیز طول زمان رشد بیشتری استفاده شود، ابعاد بلورهای رشد یافته می‌تواند تا $2,5 \times 4 \times 7$ سانتیمتر مکعب برسد و قطعاً راستای سمتگیری دانه اولیه نیز در رشد صفحات موثر است.

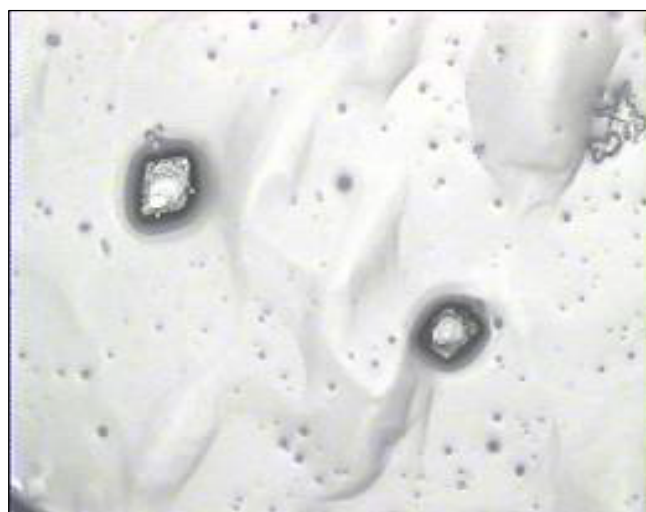
نشان داده شده از مرتبه 10^{-7} متر است. پدیده دیگری که هنگام رشد دیده می‌شود پدیده شکستگی بلور بود. این شکستگی زمانی رخ داد که بلور نسبتاً بزرگ شده بود. این مورد را می‌توان به رشد نایکسان محور b در دو راستای مخالف نسبت داد. همچنین در زمان رشد متوجه شدیم که تعادل سه حالت آبگون جامد و گاز در رشد بلور بسیار موثر است، به طوری که هرچه محیط مرتبط‌تر باشد رشد کنتر و کیفیت بلور نیز کاهش می‌یابد. بنابراین در ادامه آزمایش درهای داخلی



شکل ۲ دستگاه رشد بلور.



شکل ۳ مدار دستگاه رشد بلور



شکل ۴ عکس ۵۰۰ برابر شده بلور TGSP.

می‌شود. این مد نظیر مد 140 cm^{-1} در Na_2SO_4 است. دو قله نسبتاً شدید و بلند در 978 cm^{-1} و 979 cm^{-1} وجود دارند که می‌توان آنها را به ترتیب به یونهای PO_4 و SO_4 نسبت داد. همچنانی مد 448 cm^{-1} نیز به SO_4 وابسته است. قله بعدی در حدود 881 cm^{-1} به پیوند ارتعاش C-C وابسته است و در 627 cm^{-1} یک مد مربوط به نوار C-O و نیز دوباره در 662 cm^{-1} مد مشاهده می‌شود. پیوند C-CO دارای دو قله در 175 cm^{-1} و 178 cm^{-1} است و در بازه 326 cm^{-1} تا 575 cm^{-1} قله‌ها به گلایسین وابسته‌اند. در 1115 cm^{-1} و 1135 cm^{-1} می‌توان مد کششی NH_3 را مشاهده کرد. قله 1414 cm^{-1} مربوط به CO_2 متقارن است، و قله 1478 cm^{-1} را می‌توان به CH_2 نسبت داد. مد موجود در 1621 cm^{-1} مربوط به NH_3^+ بوده و مد 1675 cm^{-1} نشان دهنده $\text{C}=\text{O}$ و مدهای 2737 cm^{-1} و 3022 cm^{-1} را 3167 cm^{-1} می‌توان به گلایسینها دارای شکل زوئیتر و دوتای دیگر به شکل گروه کربوکسیل (COOH) ظاهر می‌شوند، [۵] که پروتون لازم را از H_3PO_4 و یا H_2SO_4 می‌گیرند. قطبش خود به خودی به تبادل پروتون بین یون گلایسین و یون گلایسینیم بر می‌گردد و در کل بیانگر این است که وجود یونهای قطبیده منجر به مدهایی در طیف رaman شده و مربوط به زوئیتر هستند و در 1307 cm^{-1} و 1414 cm^{-1} دیده می‌شوند.

تحلیل پراش پرتو x بلور TGSP

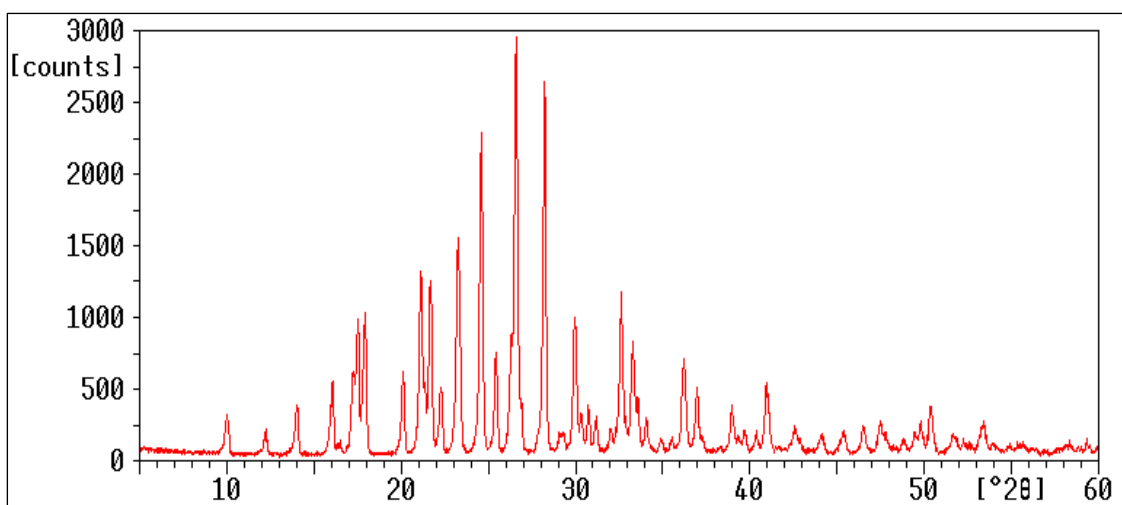
اطلاعات پراش پرتو x بلور TGSP در شکل ۵ نشان داده شده است. پراش پرتو x ساختار بلور TGSP را تک میل نشان می‌دهد که با داده‌های ASTM^۱ همخوانی دارد.

تجزیه و تحلیل این الگوی پراش پرتو x را می‌توان در جدول شماره (۱) مشاهده کرد. بیشترین شدت مربوط به صفحه (۱۳۱) و پس از آن به صفحه با خاصیت فرووالکتریک (۰۱۰) مربوط بوده است که در اینجا با بلوری که دارای صفحه ac بزرگتری است ثبت الگوی پراش پرتو X به عمل آمد.

طیف سنجی رامان

طیف سنجی رامان بلورهای رشد داده شده TGSP در بازه $4000\text{--}1000\text{ cm}^{-1}$ مورد بررسی قرار گرفت. در طیف سنجی رامان همه اطلاعات مربوط به گلایسین CH_2 , PO_4 , SO_4 , $\text{C}-\text{H}$, NH_3^+ , اسید فسفریک، گلایسین و دیگر مواد در بررسی قرار گرفته است، [۳, ۴]. لازم به یاد آوری است که همه این آزمایشها در آزمایشگاه طیف سنجی رامان و FT-IR بخش فیزیک دانشگاه تربیت مدرّس انجام گرفت. چنانکه در شکل ۶ مشاهده می‌شود مد 176 cm^{-1} به ارتعاشهای گلایسین در شبکه بلور مربوط

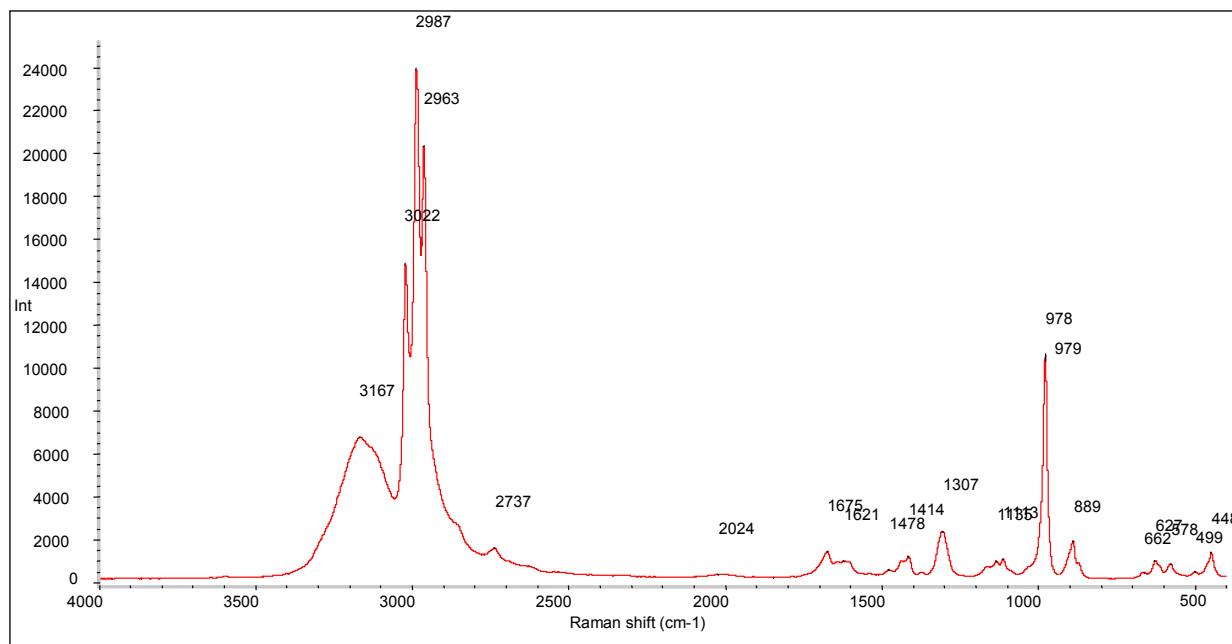
1- American Society for Testing and Materials.



شکل ۵ طرح پراش پرتو X بلور TGSP رشد داده.

جدول ۱ نتایج حاصل از پراش پرتو X

پارامتر a شبکه(A)	پارامتر b شبکه(A)	پارامتر c شبکه(A)	Beta (degree)	Landa (A)
۹,۴۱۷	۱۲,۶۴۳	۵,۷۲۵	۱۱۰,۲۳	۱,۵۴۲



شکل ۶ نمودار طیف نوعی رامان بلور TGSP رشد داده شده..

سمتگیری دانه اولیه از این نوع هستند (شکل ۷). پیش از این در مورد تاثیر تغییر آبگون، بررسیهایی انجام شده بود و نتیجه این که در $pH = ۳$ بلوری با بزرگترین ابعاد به دست می‌آید و با تغییر درجه بازی و یا اسیدی آبگون بلور نیز کوچکتر شده و

تاثیر راستای دانه اولیه در رشد بلور TGSP با روشهای مختلف می‌توان رشد صفحات بلور TGSP را مورد مطالعه قرار داد. روشهایی مانند تغییر دمای رشد، تغییر شرایط تعادلی سه حالت آبگون، گاز، و جامد ماده، تغییر pH آبگون و

این صفحه اعمال کند و از موارد اصلی مورد بررسی در این مقاله نیز همین موضوع است.

با تغییر ابعاد این صفحه، صفحات دیگر نیز خود را سازگار می‌کنند. در بلور TGSP از سه گلایسینین $\text{CH}_2\text{COOH} + \text{NH}_3$ و یکی به صورت زوئیتر گلایسینینیم $\text{NH}_3^+ \text{CH}_2\text{COO}^-$ است، [۶، ۷]. علت اصلی استفاده از این بلور به عنوان آشکار ساز فروسرخ دمای اتاق، وجود زوئیتر است که در طیف سنجی‌های FT-IR و رaman به خوبی مشخص است، [۵]. عامل دیگری که می‌توان آن را ناشی از تاثیر افزودن اسید فسفویک دانست. تغییر زوئیتراست، با توجه به وجود ۲ هیدروژن در اسید سولفوریک و شرکت آن در پیوند GII و GIII، در مورد افزودن اسید فسفویک با نگاه ظاهری می‌توان گفت که هیدروژن سوم نیز به GI چسبیده و زوئیتر را مانند دو یون دیگر گلایسین به گلایسینینیم تبدیل می‌کند. بنابراین نباید هیدروژن اسید فسفویک بر پیوند هیدروژنی GI و GII می‌شود. افزودن اسید فسفویک بر پیوند هیدروژنی نیز تاثیر گذاشته، از جایه جایی پیوند هیدروژنی و کوالانسی که همان تغییر قطبش است، جلوگیری می‌کند و ضعف اصلی آزمایش‌های انجام شده شد که اگر از $x = 0, 1$ استفاده شود بلور TGSP را که واقطبیدگی است را برطرف می‌کند. در آزمایش‌های انجام شده مشاهده شد که اگر از $x = 0, 1$ استفاده شود صفحه ac بیشتر از $0, 5$ استفاده شود، بلور شکل مناسب خود را برای آشکارسازی فروسرخ از دست می‌دهد. در $x = 0, 1$ کمترین آهنگ رشد بلور به دست آمده، مشاهده شد.

آهنگ رشد کاهش می‌یابد. این تغییر pH به دلیل افزودن درصد **اسید فسفویک** آبگون است، [۵] در طول آزمایش با بالا قرار دادن صفحات مختلف بلور آزمایش تکرار شد. در **جدول شماره ۲** می‌توان اثرهای آن را مشاهده کرد.

هنگام رشد، با توجه به آهنگ رشد صفحات، شکل بلور نیز تغییر می‌کند. این پدیده در **شکل ۲** نشان داده شده است. بنابر جدول بالا در حالتی که صفحه bc باشد، صفحه (۰۰۱) بیشترین آهنگ رشد را نسبت به صفحات دیگر دارد. زمانی که صفحه ac باشد بیشترین آهنگ رشد مربوط به صفحه (۰۰۱۰) است. در دو حالت صفحه (۰۰۱۰) کمترین رشد را دارد و در بلورهای بزرگ بر اثر رقابت رشد صفحات دیگر، در بعضی موارد این صفحه به خوبی دیده نمی‌شود.

پس از بررسی این آزمایشها این نتیجه به دست آمد که اگر صفحه ac بالا باشد، صفحه (۰۰۱۰) بزرگترین حالت خود را خواهد داشت.

تأثیر اسید فسفویک بر رشد بلور TGSP در فرمول شماره ۱ برای رشد بلور از x های مختلفی استفاده شد و مشاهده شد که با تغییر نسبت اسید فسفویک به اسید سولفوریک، شکل صفحات بلور نیز تغییر می‌کند (شکل ۸). این تغییر در مواردی موجب کوچک شدن و در مواردی دیگر حذف صفحات حاصل بلوری می‌شود. در **شکل ۳** بلورهایی که با آلایشهای مختلف، و مقادیر x مختلف (۰, ۱, ۰, ۲, ۰, ۴, ۰, ۲۵, ۰, ۵) رشد داده شدند نشان داده شده‌اند. عامل این تغییرات در شکل صفحات جانشینی یون فسفات به جای یون سولفات، و تغییر آهنگ رشد صفحات بلور است. در این شرایط یون فسفات ضمن جانشینی میدان داخلی را نیز افزایش می‌دهد. در این بلورها صفحه اصلی مورد توجه، صفحه (۰۰۱۰) است. چون در حالت عادی یون سولفات و GI نزدیک به این صفحه است، بنابراین کمیت اسید فسفویک باید بیشترین تاثیر خود را روی



شکل ۷ بلورهای رشد داده شده با سمت بندی‌های مختلف دانه اولیه.

جدول ۲ آهنگ رشد صفحات بلور با گونه های مختلف آویزان کردن دانه اولیه بر حسب mm/h.

	pH	(۱۰۰) mm/h	(۰۱۰) mm/h	(۰۰۱) mm/h
bc صفحه	۳	۰,۰۲	۰,۱۱	۰,۱۲
ac صفحه	۳	۰,۰۳	۰,۲۹	۰,۲۶



شکل ۸ بلورهای رشد داده شده با X های مختلف.

که قطبش خاصی را از خود نشان می‌دهد که در **شکل (۱۰)** به صورت سد پتانسیل دیده می‌شود. چنانکه از شکل (۱۰) پیداست، تمام بارهای منفی در سمت راست (یا در سمت چپ) قرار دارند و قطبش سمت داری شکل می‌گیرد.

در حالتی که دما از دمای گذار بالاتر برود بلور به فاز پارالکتریک می‌رود. در این حالت یونهای گلاسین در شبکه بلوری به نقاط $\frac{1}{4}$ و $\frac{3}{4}$ رفته و به گونه‌ای عمل می‌کنند که یکدیگر را از نظر قطبش خنثی کنند که از دید سد پتانسیل این موضوع را به خوبی می‌توان در **شکل (۱۱)** مشاهده کرد.

برای انجام این آزمایش از مقاومت مگا اهمی و برای اتصالها از سیم لاکی، و نیز برای الکترود سطح بلور، از خمیرنقره استفاده شد. در منحنیهای پسماند ارائه شده در شکل‌ها، محور Y نمایاننده قطبش و محور X میدان اعمالی به بلور است. از لحاظ نظری با توجه به شکل ۱۰ می‌توان میدان و قطبش را به صورت $P = \frac{C_1}{A} V_1 - \varepsilon_0 \frac{V_o - V_1}{d}$ و $E = \frac{V_o - V_1}{d}$ بیان کرد. با جمع شده روی بلور نیز از فرمول شماره (۲) پیروی می‌کند.

بررسی قطبش

مواد فرووالکتریک از جمله بلور مورد بحث وقتی در میدان خاصی قرار گیرند دارای قطبش مشخصی می‌شوند که این قطبش همراستا با میدان است. در این بلور نقش اساسی را زوئیتر بازی می‌کند. و با توجه به پیوند هیدروژنی شدیدتری که اسید فسفریک ایجاد می‌کند، باید میدان و اداراندگی شدیدتری نیز مشاهده شود. به صورت نظری، با نادیده گرفتن نقص شبکه و این فرض که احتمال توزیع هسته‌ها یکسان است، پس از اعمال میدان $E(t)$ می‌توان قطبش $P(t)$ را محاسبه کرد.

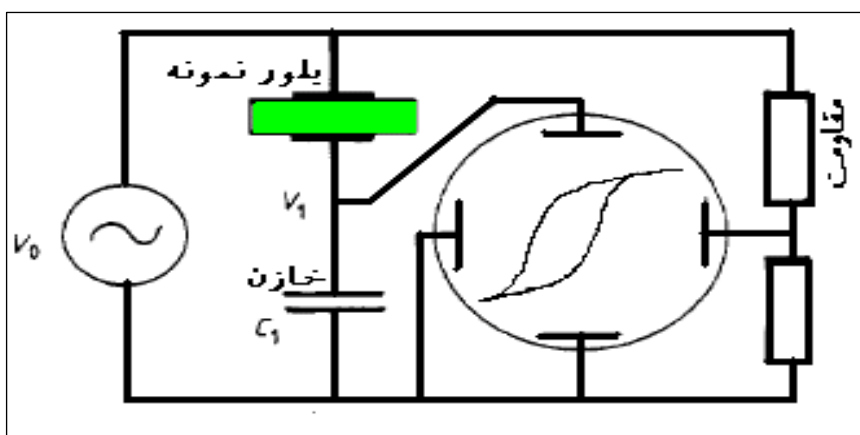
برای اندازه‌گیری قطبش از مدار سایر - تاور (Sawyer - Tower circuit) که در **شکل (۹)** نشان داده شده است، استفاده شد. این مدار بر پایه ایجاد تغییر فاز عمل می‌کند، و تغییر فاز خازن موجب شکل گیری دایره‌ای می‌شود، و با تغییر فازی که بلور پدید می‌آورد، حلقه پسماند به وجود می‌آید. این حلقه تابع دماس است و هنگامی که دما به دمای گذار برسد، قطبش غیر خطی P_f صفر و پسماند به خط راست تبدیل می‌شود. دلیل حذف این قطبش غیر خطی را می‌توان در تقارن گلاسین مشاهده کرد. اگر به گلاسین نگاه کنیم دارای یک تقارن است

حلقه پسمند به دست آمده برای بلور TGSP به خوبی اشباع شده است و کاملا تحت تاثیر میزان غلظت اسید به کار برده شده است. با بالا رفتن غلظت، یک دوگانگی در حلقة پسمند مشاهده می‌شود. میدان E در بلور TGSP به خاطر افزوده شدن پرتوان به یون زوئیتر افزایش می‌یابد که این افزایش ناشی از جانشینی PO_3^{2-} به جای SO_4^{2-} است.

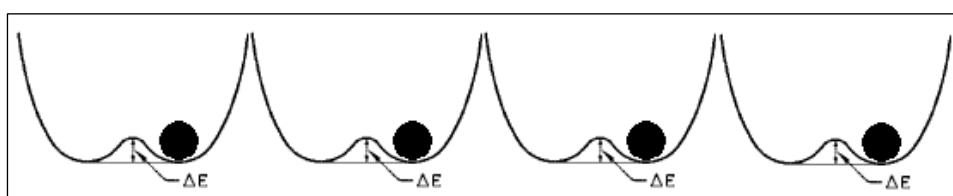
$$V_y = \frac{1}{C} \int idt = \frac{1}{C} \int \frac{dQ_x}{dt} dt = \frac{Q_x}{C} \quad (2)$$

$$\frac{Q_x}{C} = \frac{A(\varepsilon\varepsilon_0 E + P_f)}{C} = \frac{A}{C} (\varepsilon\varepsilon_0 \frac{V_x}{d} + P_f)$$

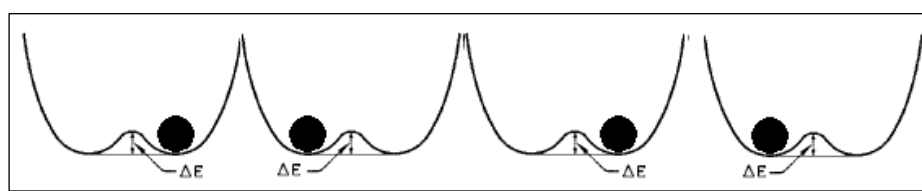
منحنی پسمند بلور TGSP برای Xهای مختلف مورد بررسی قرار گرفت قطبش‌ها و میدان وادارنده آن نیز به دست آمد، که در شکل (۱۲) نشان داده شده. در بعضی از منحنی‌ها چنانکه دیده می‌شود شاهد دوگانگی در منحنی پسمند هستیم.



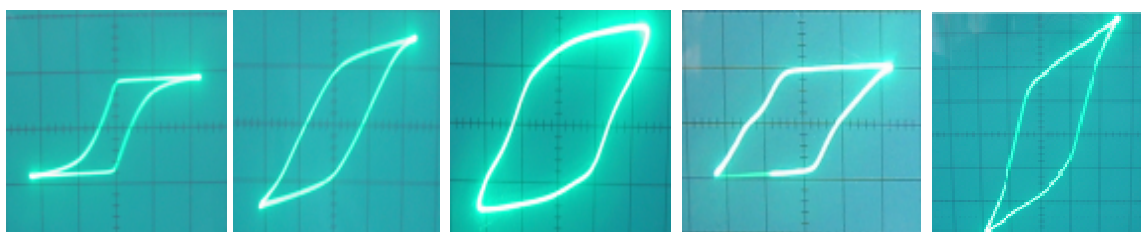
شکل ۹ مدار سایر - تاور (Sawyer-Tower circuit) برای اندازه گیری قطبش.



شکل ۱۰ حالت قطبش دار گلاسین در فاز فرو الکتریک.



شکل ۱۱ حالت بدون قطبش گلاسین در فاز پارا الکتریک.



شکل ۱۲ منحنی های پسمند بلورهای TGSP رشد داده شده.

- [۳] عباسی ب، ملک فر ر، "رشد و اثر جهت گیری دانه بر روی رشد بهینه صفحه (۱۰۰) بلور TGSP به عنوان آشکارساز مادون قرمز دمای اتاق"، دوازدهمین همایش انجمن بلورشناسی و کانی شناسی ایران (۱۴۰۵ بهمن ماه ۱۳۸۳).
- [۴] Saxena A., Gupta V., Sreenivas K., "Characterization of phosphoric acid doped TGS single crystals", Journal of Crystal Growth 263 (2004) 192–202.
- [۵] عباسی ب، ملک فر ر، "رشد و طیف سنجی پراکندگی رامان و FT-IR عبوری بلور TGSP به عنوان آشکارساز مادون قرمز دمای اتاق"، یازدهمین کنفرانس اپتیک و فوتونیک ایران (۱۴۰۵ بهمن ماه ۱۳۸۳)
- [۶] Meeraa K., Muralidharana R., Santhanaraghavana P., Gopalakrishnanb R., Ramasamy R., "Growth and characterization of L-cystine doped TGS crystals", Journal of Crystal Growth 226 (2001) 303–312.
- [۷] Lillicrap B.J., Wood J.D.C., Wood V.M., Shaw N., "Growth and electrical properties of deuterated TGS produced by the rotating disc technique", J. Phys. D: Appl. Phys., Vol. 12, (1979).
- [۸] Gaffar M.A., El-Fadl A.A., "Investigation of the pyroelectric and piezoelectric properties of triglycine sulphate single crystals containing organic molecules", J. Phys.: Condens. Matter 1 (1989) 8991-8999.
- [۹] Jain S.C., Dahake S.L., Indian J. Pure Appl. Phys. 2 (1964) 71.
- [۱۰] Garunnmozhi, E. de Matos, "Electrical characterization on L-tyrosine dope triglycine sulfate single crystals", Material Research Bulletin 37 (2002) 1699-1707.

برداشت

بلور سولفات تری گلایسین، TGS، و نیز همتای فسفات دارشده آن، TGSP، با روش رشد از محلول اشباع و با استفاده از ثابت نگه داشتن دما رشد داده شدند. بلورهای رشد داده شده با ساختارهای بهینه، از لحاظ چگونگی شرایط رشد و پارامترهای مختلف بلورشناسی، مورد بررسی قرار گرفتند. الگوهای پراش پرتو X و طیفهای ضبط شده از طیف سنجی پس پراکندگی لیزری میکرو رامان، برای بررسی بلورهای رشد داده شده مورد بررسی و تجزیه و تحیل قرار گرفتند. الگوها و طیفهای به دست آمده در مورد بلورهای خالص و آلاییده TGS و TGSP ارائه، و تجزیه و تحیل شدند. با توجه به اهمیت موضوع، توجه ویژه به تاثیر دانه اولیه و نیز اثر اضافه کردن اسید فسفریک در تراکم های مختلف، بر کیفیت بلورهای نهایی رشد داده شده، معطوف شد. تغییر قطبش ایجاد شده با به کارگیری مدار الکترونیکی خاص و تجزیه و تحیل منحنیهای پسماند برای بلورهای خالص و آلاییده بررسی و علت تغییرات ایجاد شده ارائه شدند.

مراجع

- [۱] Ashok K. Batra, Mohan D. Aggarwal, Ravindra B. Lal, "Growth and characterization of doped DTGS crystals for infrared sensing devices", Materials Letters, 57 Issues 24-25 (August 2003) 3943-3948.
- [۲] Rajul Ranjan Choudhury, R Chitra, M Ramanadham, "The role of the double-well potential seen by amino group in the ferroelectric phase transition in triglycine sulfate", Journal of Physics: Condensed Mater (2003) 4641-4650.